

DIPLOMARBEIT

Bluetooth-Aktivbox

Ausgeführt im Schuljahr 2016/17 von:

Markus Bointner
Andreas Macsek

Betreuer/Betreuerin:

Prof. Dipl.-Ing. Dr. Herbert Wagner

St. Pölten, am 8. Februar 2017

Eidesstattliche Erklärung

Ich erkläre an Eides statt, dass ich die vorliegende Diplomarbeit selbständig und ohne fremde Hilfe verfasst, andere als die angegebenen Quellen und Hilfsmittel nicht benutzt und die den benutzten Quellen wörtlich und inhaltlich entnommenen Stellen als solche erkenntlich gemacht habe.

Markus Bointner

Andreas Macsek

DIPLOMARBEIT DOKUMENTATION

| | |
|------------------------------|--|
| Namen der Verfasser/innen | |
| Jahrgang Schuljahr | |
| Thema der Diplomarbeit | |
| Kooperationspartner | |

| | |
|------------------|--|
| Aufgabenstellung | |
|------------------|--|

| | |
|--------------|--|
| Realisierung | |
|--------------|--|

| | |
|------------|--|
| Ergebnisse | |
|------------|--|

Typische Grafik, Foto etc.
(mit Erläuterung)

Teilnahme an Wettbewerben,
Auszeichnungen

Möglichkeiten der
Einsichtnahme in die Arbeit

Approbation
(Datum / Unterschrift)

Prüfer/Prüferin

Direktor/Direktorin
Abteilungsvorstand/Abteilungsvorständin

DIPLOMA THESIS DOCUMENTATION

| | |
|-----------------------|--|
| Author(s) | |
| Form Academic year | |
| Topic | |
| Co-operation Partners | |
| Assignment of Tasks | |
| Realisation | |
| Results | |

Illustrative Graph, Photo
(incl. explanation)

Participation in Competitions
Awards

Accessibility of
Diploma Thesis

Approval
(Date / Signature)

Examiner

Head of College/Department

Inhaltsverzeichnis

| | | |
|----------|---|-----------|
| 1 | Einleitung | 1 |
| 2 | Gesamtprojekt | 2 |
| 3 | Individuelle Zielsetzung | 3 |
| 3.1 | Lautsprecher | 3 |
| 3.2 | Elektronik | 3 |
| 4 | Grundlagen und Methoden | 4 |
| 5 | Realisierung und Ergebnisse | 5 |
| 5.1 | Mono-Bass-Addier-Schaltung und Mono-Bass-Weiche | 5 |
| 5.1.1 | Allgemeines | 5 |
| 5.1.2 | Zielsetzung | 5 |
| 5.1.3 | Auswahl des Tiefpass-Filters | 5 |
| 5.1.4 | Butterworth-Filter 2. Ordnung | 6 |
| 5.1.5 | Schaltung | 6 |
| 5.1.6 | PCB | 7 |
| 5.2 | Tieftöner- und Hochtönerweiche | 8 |
| 5.2.1 | Allgemeines | 8 |
| 5.2.2 | Zielsetzung | 9 |
| 5.2.3 | Filter | 9 |
| 5.2.4 | Schaltung | 10 |
| 5.2.5 | PCB | 11 |
| 5.3 | Tieftöner-Verstärker | 12 |
| 5.3.1 | Allgemeines | 12 |
| 5.3.2 | Zielsetzung | 12 |
| 5.3.3 | TDA2030 | 13 |
| | Abkürzungsverzeichnis | 16 |
| | Abbildungsverzeichnis | 17 |
| | Tabellenverzeichnis | 17 |
| | Danksagungen | 18 |

Literaturverzeichnis

19

1 Einleitung

2 Gesamtprojekt

3 Individuelle Zielsetzung

3.1 Lautsprecher

3.2 Elektronik

4 Grundlagen und Methoden

5 Realisierung und Ergebnisse

5.1 Mono-Bass-Addier-Schaltung und Mono-Bass-Weiche

5.1.1 Allgemeines

Das empfangene Audio-Signal muss für das Lautsprecher-System aufgetrennt werden. In Hoch, Mitte und Tief Audiofrequenz. Für den „Mono-Bass“ werden nur die tiefen Frequenzen des Signals gebraucht. Da, wie der Name schon sagt, es sich um einen „Mono-Bass“ handelt, muss das Stereo-Audio-Signal vorher noch mittels OPV-Addierschaltung addiert werden um ein Mono-Audio-Signal zu erhalten.

5.1.2 Zielsetzung

Es soll ein Print angefertigt werden, welcher über eine OPV-Addierschaltung verfügt und des weiteren das eintreffende Audio-Signal über ein Filter passend für den „Mono-Bass“ filtert. Diese Schaltung für das Tiefpass-Filter muss variabel designet werden. Das Tiefpass-Filter muss unabhängig vom Printdesign, nur durch Ändern von Bauteilwerten, andere Grenzfrequenzen liefern können.

5.1.3 Auswahl des Tiefpass-Filters

Es wurde nach einem möglichst steilen, im Durchlassbereich linearen und einfachen Tiefpass-Filter gesucht. Man hat sich nach Überlegen für ein „Aktives-Tiefpass-Filter 2.Ordnung“ entschieden, dabei wurde die „Butterworth-Schaltung“ bevorzugt. Wegen seiner hohen Linearität im Durchlassbereich und einer Dämpfung von $\frac{-20dB}{Dek.}$. Dies bedeutet, dass eine Frequenz die 10mal größer ist als die Grenzfrequenz einen um $\frac{1}{10}$ kleineren Pegel aufweist, als die Grenzfrequenz.

Zur Regelung wird an den Eingängen (Rechts, Links) und am Ausgang der Schaltung jeweils ein Potentiometer in der Größenordnung von 1kOhm verbaut. Diese dienen zur Anpassung der Amplitude des ein- und ausgehenden Signals, um mögliche Übersteuerungen zu vermeiden.

5.1.4 Butterworth-Filter 2. Ordnung

Die Grundschaltung eines Butterworth-Tiefpass-Filter 2. Ordnung ist auch bei verschiedenen Grenzfrequenzen gleich. Es besteht hauptsächlich aus einem OPV, drei Widerständen und zwei Kondensatoren. Deren Anordnung ist ausschlaggebend für das Tiefpass-Filter (Abb. 5.1).

Bedingt durch das Beschalten des OPVs wird das Ausgangssignal invertiert, was hier keine größeren Folgen mit sich bringt.

Am Plus-Eingang des OPVs wird entweder Masse bei symmetrischer Spannungsversorgung, oder $\frac{V_{cc}}{2}$ bei asymmetrischer Spannungsversorgung angelegt.

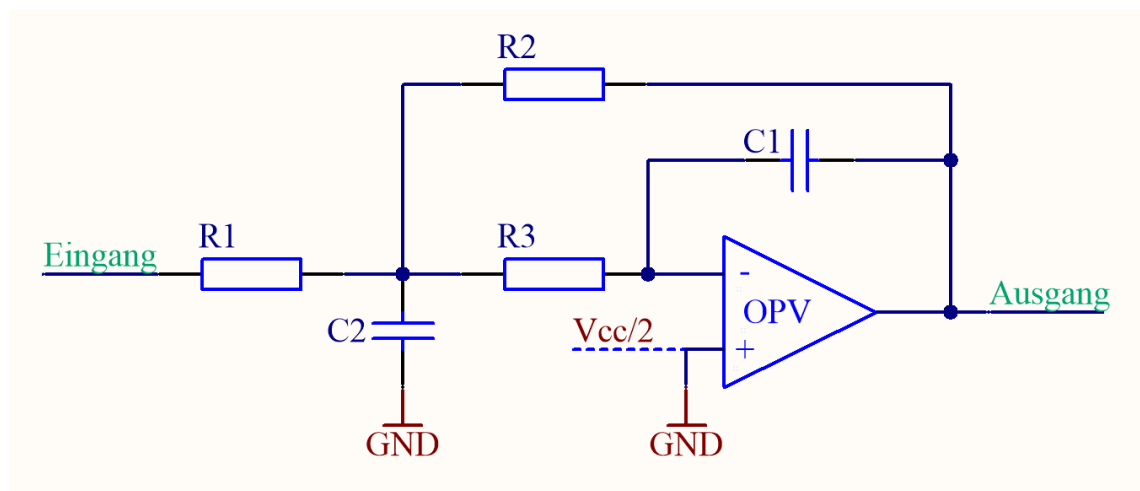


Abbildung 5.1: Butterworth-Filter 2. Ordnung

5.1.5 Schaltung

Passend dem Signalverlauf sitzt am Beginn der Schaltung (Abb. 5.2) die erste Regelung über Potentiometer. Anschließend kommt man zu der Addier-Schaltung (Abb. 5.3) welche das Stereo-Signal in ein Mono-Signal wandelt und dadurch Stereo-Effekte wie zB. Balance am „Mono-Bass“ entfernt.

Wichtig ist bereits hier die Versorgung der Schaltung. Bedingt durch eine asymmetrische Spannungsversorgung (0...12V) muss am OPV ein Arbeitspunkt eingestellt werden. Dabei handelt es sich um ein absichtliches Anheben des Signals in Y-Richtung bei einem Spannungs-Zeit-Verlauf, sodass die untere Halbwelle des Signals nicht verloren geht. Dafür muss am Plus-Eingang des OPVs der Addier-Grundschaltung und der Butterworth-Filter-Schaltung die halbe Versorgungsspannung angelegt werden, um das beste Ergebnis zu erzielen. Dafür wird an den beiden Plus-Eingängen der OPVs über eine Spannungsteiler-Schaltung aus zwei Widerständen das benötigte $\frac{V_{cc}}{2}$

angelegt.

Um Störungen im OPV zu vermeiden wird sehr nahe an diesem ein 10µF ELKO in der Versorgungsspannungsleitung vorgesehen.

Nach Addieren des Stereo-Signals zu einem Mono-Signal kommt dieses zum Aktiven-Tiefpass-Filter (Abb. 5.4). Bevor das gefilterte Signal weiter zum Verstärker geht wird nochmals die Möglichkeit geboten um die Amplitude des Signals anzupassen.

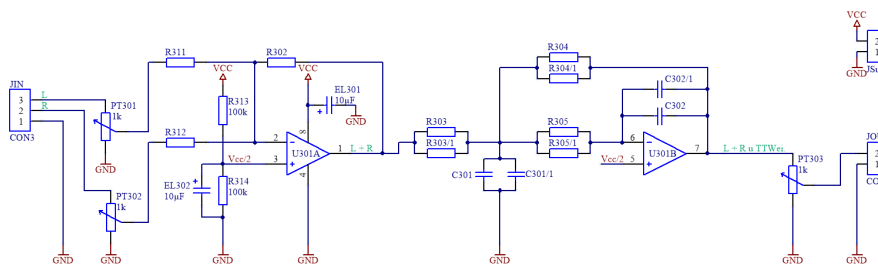


Abbildung 5.2: Schematic Mono-Bass-Addier-Schaltung und Mono-Bass-Weiche

Abbildung 5.3: Schematic Mono-Bass-Addier-Schaltung

Abbildung 5.4: Schematic Mono-Bass-Weiche

5.1.6 PCB

An einer der vier Seiten der Leiterplatte (Abb. 5.5) wurden alle wesentlichen Ein- und Ausgänge platziert. Eine dreipolige Eingangsstiftleiste für Rechts, Links und Masse. Eine zweipolige Ausgangsstiftleiste für Signal und Masse. Des weiteren darf die Spannungsversorgung nicht fehlen. Wegen größeren Spannungen wurden massivere Stecker verwendet. In diesem Fall handelt es sich um Pol-Klemmen. Zum testen wurde ein zusätzlicher Masse-Printstift angebracht um bei Messungen mit einem Oszilloskop einen besseren Massebezugspunkt zu haben.

Die Bauteile wurden nach Möglichkeit gestaffelt, beziehungsweise gruppiert auf der Leiterplatte platziert um den Platzbedarf zu minimieren.

Es wurde grundsätzlich auf jeden Print versucht eine geeignete Beschriftung vor zu sehen um Außenstehenden die Handhabung mit dem Print ebenfalls zu ermöglichen. Masse wurde selten Beschriftet, da eine Massefläche verwendet wurde und daher die Massepins sehr gut ersichtlich sind.

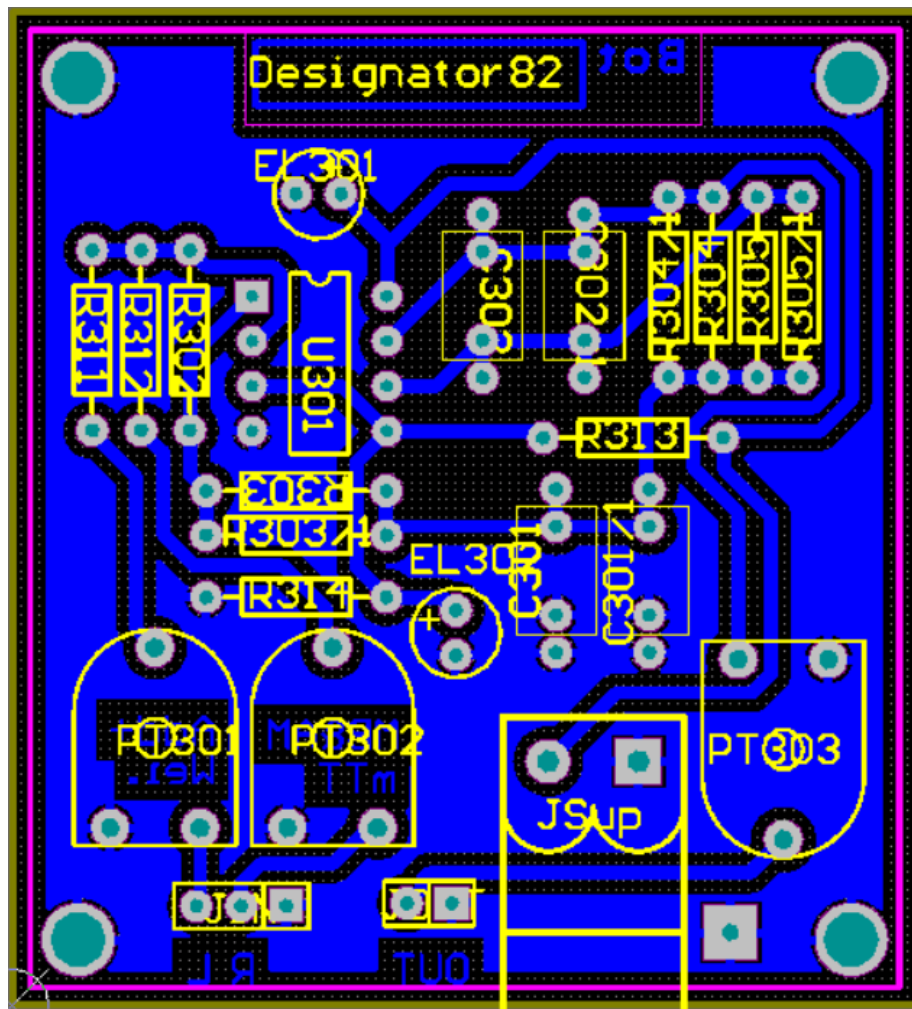


Abbildung 5.5: PCB

5.2 Tieftöner- und Hochtönerweiche

5.2.1 Allgemeines

Für die Satellitenlautsprecher, welche aus einem Hochtöner und einem Tieftöner bestehen werden nun die Teilfrequenzbereiche Mitte und Hoch benötigt. Da es sich bei dem Satellitensystem um ein Paar an Boxen handelt und diese räumlichen weiter entfernt voneinander stehen, können nun Stereo-Effekte verwendet und mit dem reinen Stereo-Eingangssignal gearbeitet werden. Eine Aufteilung des Signals in Linke- und Rechte-Satellitenbox muss jedoch schon getroffen werden, um die Effekte richtig zu erhalten. Dafür wird einfach für die Linke-Satellitenbox, bestehend aus Hoch- und Tieftöner die entsprechenden Weichen verwendet und das Selbe für die Rechte-Box.

5.2.2 Zielsetzung

Das unberührte Eingangssignal soll so gefiltert werden, dass der Hochtöner nur Frequenzen über 1,5kHz und der Tieftöner Frequenzen bis 6kHz zum abstrahlen erhält. Dementsprechend sollen die Filter gewählt und designet werden.

Obwohl es den Mono-Bass gibt der die untersten Frequenzen ($>20\text{Hz}$) abzustrahlen hat, dürfen die Satelliten-Tieftöner im selbigen Bereich ebenfalls spielen. Somit wird die abstrahlende Fläche vergrößert und freiwerdende absolute Pegel höher. Bei dem Satelliten-Tieftöner wird jedoch ein Bandpass vorgesehen um bei möglichen Resonanzen mit dem Mono-Bass das Signal filtern zu können.

Dementsprechend sollen die Filter gewählt und designet werden.

5.2.3 Filter

Es wurden wie bereits in Kapitel 5.1 „Butterworth-Tiefpass-Filter 2. Ordnung“ verwendet. Dieses mal ein Bandpass-Filter und ein Hochpass-Filter ebenfalls nach Butterworth. Dabei handelt es sich wieder um „Aktive-Filter“ was bedeutet, dass OPV-Schaltungen verwendet wurden.

Das Bandpass-Filter(5.6) besteht aus drei Widerständen, zwei Kondensatoren und einem OPV dieser wird am Minus-Eingang angesteuert was zur folge hat, dass die Schaltung invertierend wirkt was aber keine Probleme aufbringt. Am Plus-Eingang des OPVs wird entweder Masse bei symmetrische Versorgungsspannung oder $\frac{V_{cc}}{2}$ bei asymmetrischer verwendet.

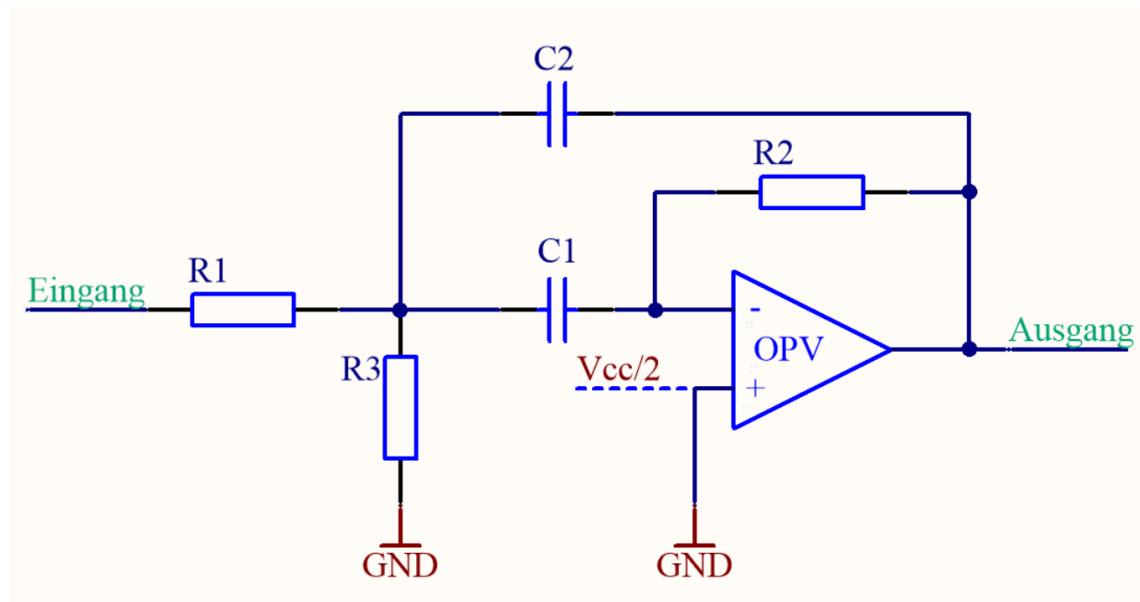


Abbildung 5.6: Butterworth-Bandpass-Filter 2. Ordnung

Ähnliche Konstruktion hat der Hochpass(5.7). Dieser besteht aus drei Kondensato-

ren, zwei Widerständen und einem OPV.

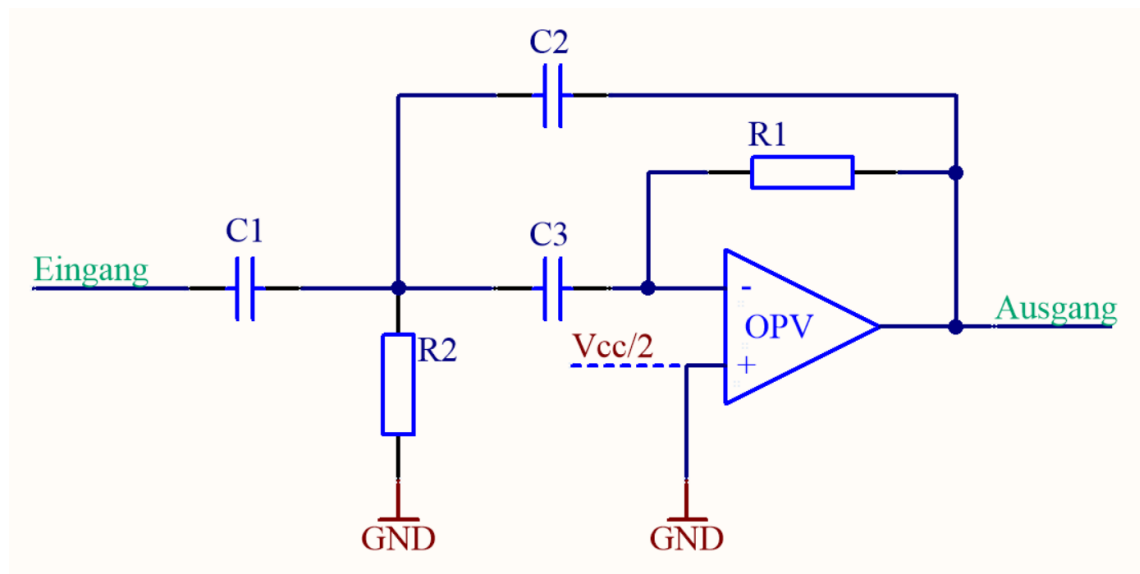


Abbildung 5.7: Butterworth-Hochpass-Filter 2. Ordnung

5.2.4 Schaltung

Das Eingangssignal (Links, Rechts, Masse) wird an einer dreipoligen Stiftleiste angeschlossen (Abb. 5.8). Zuerst gelangt Signal-Links und -Rechts an jeweils ein Potentiometer um den Pegel anpassen zu können, es bietet also eine Regelmöglichkeit. Es folgen die Filter. Hochpass für Links/Rechts und Tiefpass für Links/Rechts. Ein „Butterworth-Tiefpass-Filter 2. Ordnung“ wurde bereits in dem Kapitel 5.1.4 erklärt. Das „Butterworth-Hochpass-Filter und -Bandpass-Filter 2. Ordnung“ weist keine groben Unterschiede auf, der Unterschied liegt lediglich in der Bauteilaufteilung.

Nach den Filtern gelangen die getrennten Signale zu deren Ausgangspunkt. Es ist für jede Signalleitung eine zweipolige Stiftleiste vorgesehen (Signal + Masse), da der darauffolgende Verstärker einen selbigen Eingang besitzt. Die Stiftleisten sind jedoch gruppiert nach Bandpass- und Hochpass-Ausgang.

Eines der Bandpass-Filter. Gut sichtbar die doppelte, parallele Ausführung von Widerständen und Kondensatoren um krumme Werte auch erhalten zu können. Bedingt durch Parallel-Schaltung von Widerständen und Kondensatoren.

Der Eingang wurde gespiegelt um ein schöneres Bild zu erlangen. Die Spiegelung ist für das PCB-Layout nicht relevant!

Bedingt durch die Versorgungsspannung ist auch der Spannungsteiler für $\frac{V_{cc}}{2}$ am Plus-Eingang des OPVs implementiert.

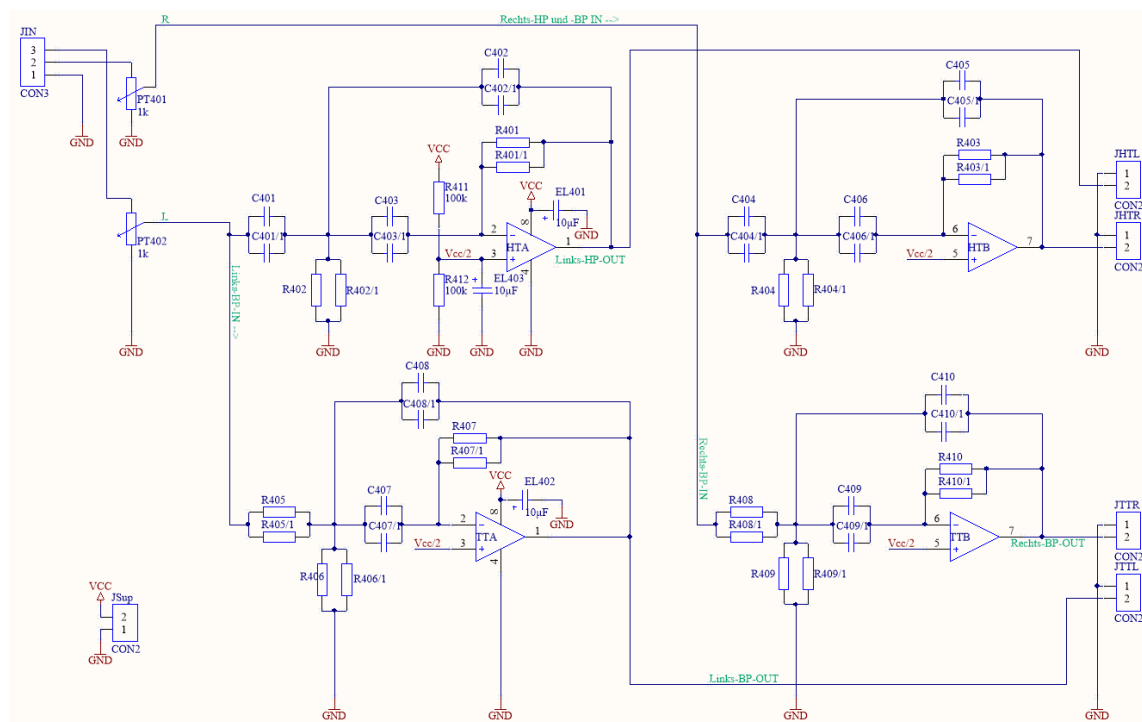


Abbildung 5.8: Butterworth-Bandpass-Filter 2. Ordnung

Am B-Teil des OPVs (erkennbar an der Beschriftung: TT„B“) ist keine Versorgung einzuzeichnen, da er mit dem A-Teil einen achtpinnigen IC mit zwei integrierten OPVs ergibt. Die zwei Teile sind über das IC-Gehäuse mit der gleichen Versorgungsspannung verbunden, deshalb ist das einmalige Kennzeichen ausreichend.

5.2.5 PCB

Es wurden die grundlegenden Regeln zur Leiterplattenentflechtung angewandt (??). Bei dem Design (Abb. 5.11) wurde auf hohe Variierbarkeit geachtet um auch zB. Kondensatoren mit unterschiedlichen Footprint verwenden zu können.

Es wurden wieder nahe an den IC's ELKOs in der Spannungsversorgungsleitung verbaut, um Störungen zu verhindern.

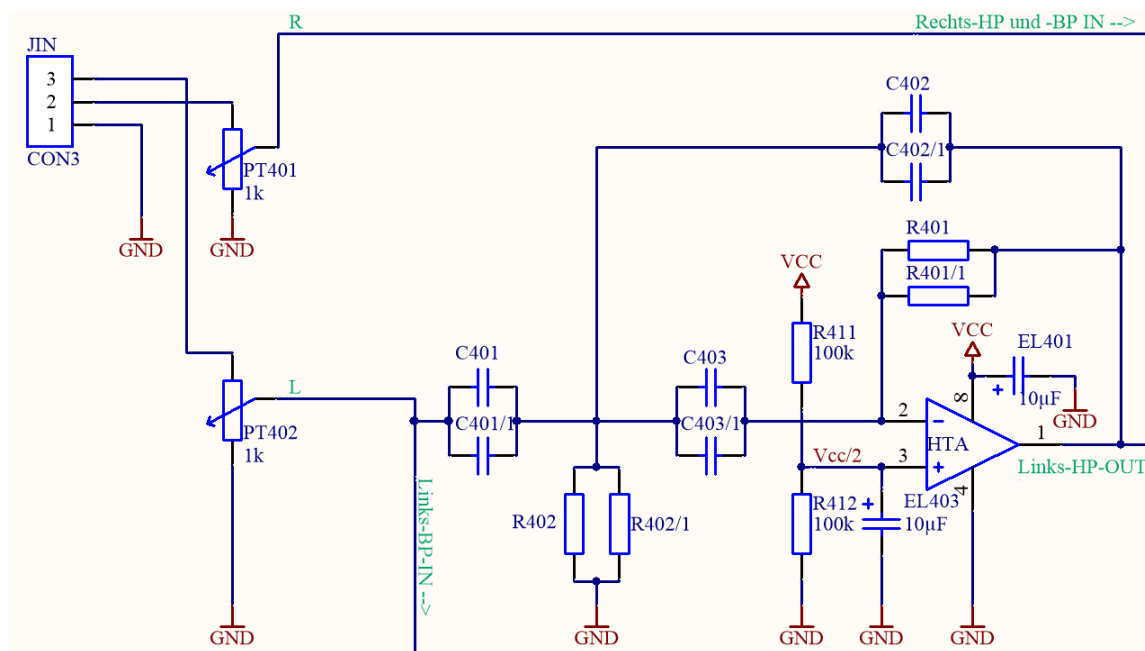


Abbildung 5.9: Butterworth-Bandpass-Filter 2. Ordnung - aus Abb.5.8

5.3 Tieftöner-Verstärker

5.3.1 Allgemeines

Nach dem Filtern des Signals soll dieses vor dem Abstrahlen am Lautsprecher verstärkt werden. Es wurde eine analoge Verstärker-Schaltung verwendet, da diese einfacher und mit weniger Problemen realisiert werden hat können. Mit Hilfe bereits bekannter, bewährter Schaltungen konnte ein Layout für diese Schaltung designet werden. Ein wichtiger Baustein in dieser Schaltung ist der Verstärker „TDA2030“, wie in Kapitel 5.3.3 beschrieben. Des weiteren wurden zwei Leistungstransistoren verbaut die höhere Ströme schalten können, falls der maximale Schaltstrom des TDA2030 erreicht wird.

5.3.2 Zielsetzung

Das Eingangssignal soll Verstärkt werden um am Ausgang der Schaltung höhere Spannungs-Amplituden und höheren Ströme aufzuweisen. Es soll nach diesem Schritt möglich sein den Tieftöner in einer der zwei Satellitenboxen mit ausreichend Signal zu versorgen, um einen Schalldruck von zumindest Zimmerlautstärke zu erhalten.

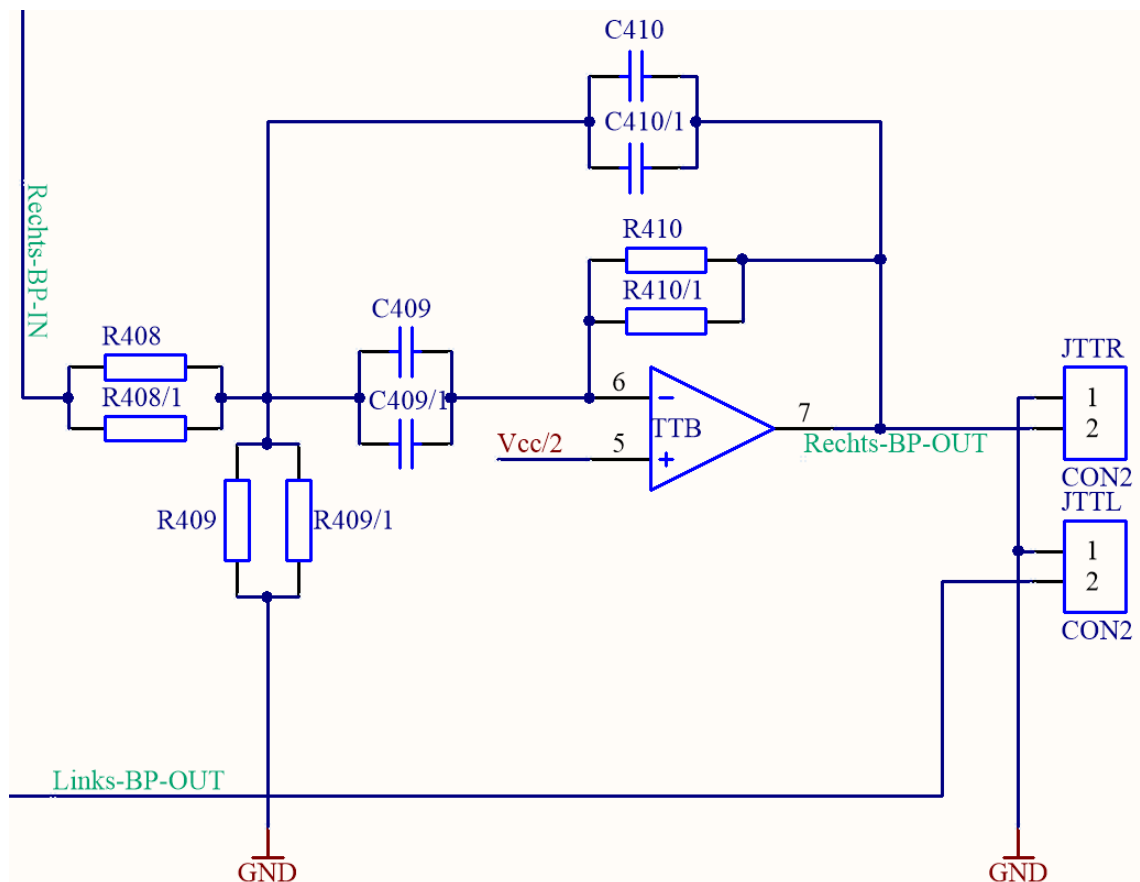


Abbildung 5.10: Butterworth-Bandpass-Filter 2. Ordnung - aus Abb.5.8

5.3.3 TDA2030

Der TDA2030 ist ein für den Audio-Frequenzbereich optimierter OPV. Dieser kann symmetrisch sowie auch asymmetrisch versorgt werden. Eine typische Beschaltung ist im Datenblatt auch vorgegeben, welche auch verwendet wurde. Der TDA2030 besitzt ein Pentawatt-Gehäuse, welches deshalb auch eine Kühlfläche besitzt. Diese Kühlfläche hat das selbe Potential wie der mittlere Anschlusspin (Abb. ??).

Es wird auch für geringfügigen Betrieb ein Kühlkörper empfohlen!

Absolute Maximalwerte

Diese Werte wurden zu aller erst mit den Bedingungen an der Schaltung verglichen, da sie eine sehr genaue, kurze Übersicht über den Baustein liefern.

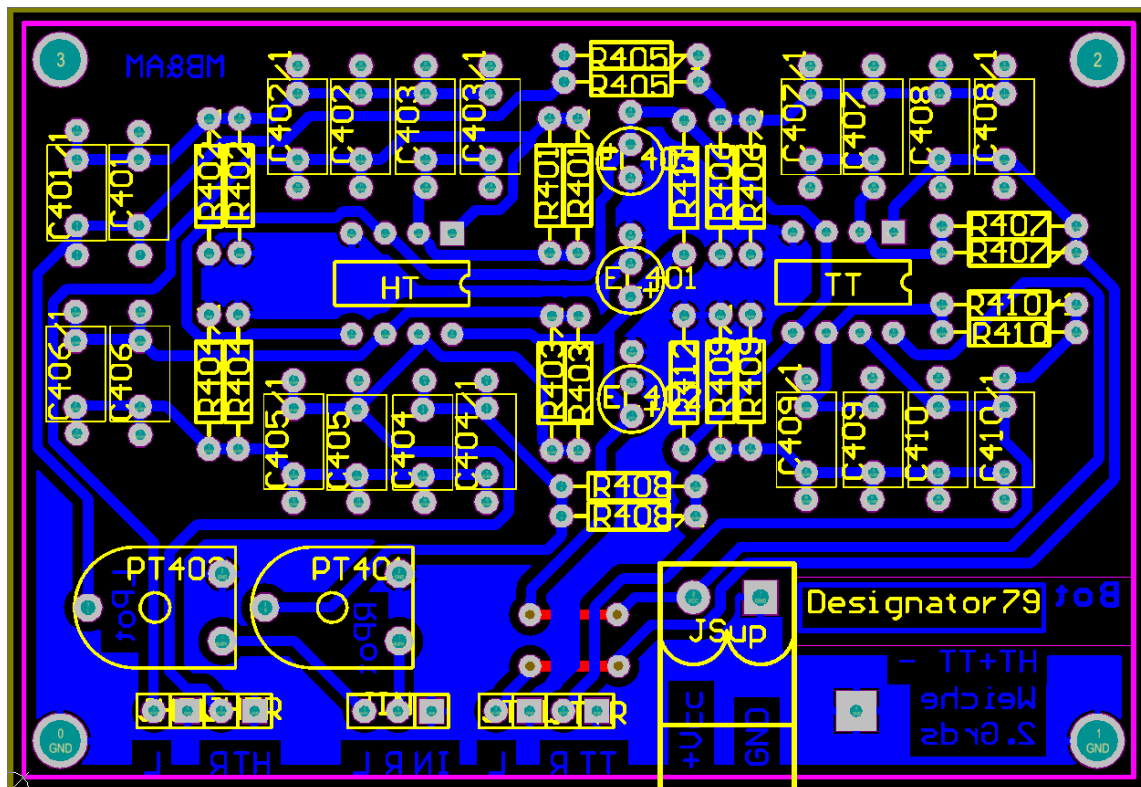


Abbildung 5.11: Tieftöner- und Hochtönerweichen - PCB

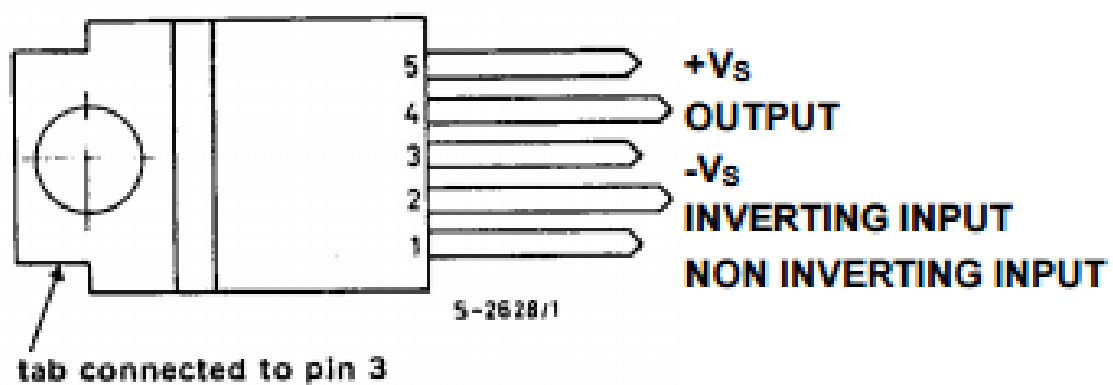


Abbildung 5.12: TDA2030-Pinning

ABSOLUTE MAXIMUM RATINGS

| Symbol | Parameter | Value | Unit |
|----------------|--|---------------|------------------|
| V_s | Supply voltage | ± 18 (36) | V |
| V_i | Input voltage | V_s | |
| V_i | Differential input voltage | ± 15 | V |
| I_o | Output peak current (internally limited) | 3.5 | A |
| P_{tot} | Power dissipation at $T_{case} = 90^\circ\text{C}$ | 20 | W |
| T_{stg}, T_j | Storage and junction temperature | -40 to 150 | $^\circ\text{C}$ |

Abbildung 5.13: TDA2030-Pinning

Abkürzungsverzeichnis

PCB Printed Circuit Board - dt. Leiterplatte

Abbildungsverzeichnis

| | | |
|------|---|----|
| 5.1 | Butterworth-Filter 2. Ordnung | 6 |
| 5.2 | Schematic Mono-Bass-Addier-Schaltung und Mono-Bass-Weiche . . . | 7 |
| 5.3 | Schematic Mono-Bass-Addier-Schaltung | 7 |
| 5.4 | Schematic Mono-Bass-Weiche | 7 |
| 5.5 | PCB | 8 |
| 5.6 | Butterworth-Bandpass-Filter 2. Ordnung | 9 |
| 5.7 | Butterworth-Hochpass-Filter 2. Ordnung | 10 |
| 5.8 | Butterworth-Bandpass-Filter 2. Ordnung | 11 |
| 5.9 | Butterworth-Bandpass-Filter 2. Ordnung - aus Abb.5.8 | 12 |
| 5.10 | Butterworth-Bandpass-Filter 2. Ordnung - aus Abb.5.8 | 13 |
| 5.11 | Tieftöner- und Hochtönerweichen - PCB | 14 |
| 5.12 | TDA2030-Pinning | 14 |
| 5.13 | TDA2030-Pinning | 15 |

Tabellenverzeichnis

Danksagungen

Wir bedanken uns bei

Prof. Dipl.-Ing. ABCD für ...

FL Ing. DEFG für ...

Literaturverzeichnis

- [1] **Donald E. Knuth:** *The T_EXbook*. 1986, ADDISON–WESLEY Verlag, ISBN-13: 978-0-201-13447-6

Ild. Nr.:

Kandidaten/Kandidatinnen:

Zeit:

Besprechungsinhalt:

| Name | Notiz |
|------|-------|
| | |
| | |
| | |

Aufgaben:

[illegible]

Betreuungsprotokoll zur Diplomarbeit

Ifd. Nr.:

Themenstellung:

Kandidaten/Kandidatinnen:

Jahrgang:

Betreuer/in:

Ort:

Datum:

Zeit:

Besprechungsinhalt:

| Name | Notiz |
|------|-------|
| | |
| | |
| | |

Aufgaben:

[illegible]